

بررسی اثر تنفس شوری بر رشد، پراکسیداسیون لیپیدها، زیماهیه‌های پادکساینده و فیکوبیلی پروتئین‌ها در دو گونه نوستوک

مریم رضاییان^۱، محمدعلی فرامرزی^۲، وحید نیکنام^{۱*} و حسن ابراهیم زاده^۱

^۱ تهران، دانشگاه تهران، پردیس علوم، دانشکده زیست‌شناسی و قطب تبارزاتی موجودات زنده ایران

^۲ تهران، دانشگاه تهران، دانشکده داروسازی، گروه بیوتکنولوژی دارویی

تاریخ پذیرش: ۹۳/۱۰/۲۷ تاریخ دریافت: ۹۳/۸/۲۶

چکیده

در این پژوهش، اثر تنفس شوری بر رشد و برخی پارامترهای مرتبط با تنفس اکسایشی در آخر مرحله لگاریتمی رشد *Nostoc* و *Nostoc piscinale* و *ellipsosporum* مورد بررسی قرار گرفت. بر اساس نتایج رشد این دو گونه سیانوباکتری با افزایش غلاظت شوری افزایش می‌یابد. این دو گونه به منظور کاهش اثرات مخرب انواع فعال اکسیژن از زیماهیه‌های پادکساینده مانند CAT، SOD، POX و PPO استفاده می‌کنند و با افزایش شوری فعالیت این زیماهیه‌ها افزایش می‌یابد. بالاتر بودن محتوای ذاتی پرولین در *N. ellipsosporum* می‌تواند یکی از عوامل تحمل بالاتر گونه اول نسبت به شوری باشد. مالون دی‌آلدید(MDA) در *N. ellipsosporum* نسبت به *N. piscinale* در شرایط شاهد و در تمام سطوح شوری کمتر است. به علاوه محتوای تمام فیکوبیلی پروتئین‌های مورد مطالعه در یاخته‌های *N. ellipsosporum* نسبت به گونه دیگر بالاتر بوده و تحت تنفس شوری افزایش معنی دار و قابل ملاحظه را نشان می‌دهد. فیکوبیلی پروتئین‌ها می‌توانند به عنوان پادکساینده‌های غیر زیماهی ای در کنار زیماهی‌های پادکساینده عامل مقاومت بیشتر *N. ellipsosporum* نسبت به *N. piscinale* باشند. نسبت مجموع فیکواریترین و فیکوبیانین به آلوفیکوسیانین نیز به عنوان شاخص اندازه فیکوبیلی زوم مورد محاسبه قرار گرفت. اندازه فیکوبیلی زوم تحت تنفس شوری در هر دو گونه افزایش می‌یابد ولی این افزایش در *N. ellipsosporum* نسبت به گونه دیگر بیشتر است. می‌توان نتیجه گیری کرد که این سیانوباکتری با افزایش اندازه فیکوبیلی زوم و افزایش کارائی انتقال انرژی نورانی با تنفس شوری مقابله می‌کند.

واژه‌های کلیدی: شوری، سیانوباکتری، زیماهی‌های پادکساینده، فیکوبیلی پروتئین‌ها، *Nostoc*

* نویسنده مسئول، تلفن: ۰۲۱۶۱۱۳۶۳۷، پست الکترونیکی: vniknam@khayam.ut.ac.ir

مقدمه

های آبیاری شده تحت تاثیر تنفس قرار می‌گیرند(۳۳). همچنین تنفس شوری روی رشد سیانوباکتری‌ها نیز تاثیر می‌گذارد(۲۱).

سیانوباکتری‌ها اولین پروکاریوت‌های فتوسنتزی هستند که در دوره پرکامبرین، حدود ۲/۸ تا ۳/۵ میلیارد سال قبل بوجود آمدند و شرایط را برای حیات هوایی مساعد کردند(۲۸). سیانوباکتری‌ها تولید کننده‌های اصلی در

تنفس شوری از مهمترین تنفس‌های غیرزیستی است که اثرات زیانباری بر محصولات کشاورزی به خصوص در مناطق خشک و نیمه خشک دارد و رشد و نمو گیاهان غیرهالوفیت را کاهش می‌دهد. وسعت خاک‌های شور در ایران حدود ۲۴ میلیون هکتار است که معادل ۱۵ درصد از اراضی کشور می‌باشد. امروزه ۲۰ درصد از زمین‌های کشت داده شده در جهان و نزدیک به نیمی از همه زمین-

مواد و روشها

گونه‌های استفاده شده در این پژوهش (*Nostoc*) از کلکسیون *Nostoc piscinale* و *ellipsosporum* ریزجلبک‌ها در گروه بیوتکنولوژی دارویی، دانشکده داروسازی، دانشگاه علوم پزشکی تهران تهیه شد. این دو گونه در تحقیقات اخیر گروه مذکور، از خاک ایران مورد جداسازی، خالص سازی و شناسایی قرار گرفته‌اند (۲۲، ۱۶). به منظور بررسی اثر تنفس شوری بر رشد و دیگر پارامترهای بیوشیمیائی و فیزیولوژیکی اقدام به تهیه محیط کشت BG-11 و محلول‌های NaCl با غلاظت‌های مختلف، ۰، ۵۰، ۱۰۰، ۱۵۰، ۲۰۰ و ۲۵۰ میلی مولار گردید. برای کشت دادن جلبک‌ها از ارلن‌های ۲۵۰ میلی لیتری استفاده شد که به هر ارلن بعد از سترون شدن توسط اتوکلاو ۴۵ میلی لیتر محیط کشت BG-11 و ۵ میلی لیتر محلول نمک (NaCl) (اضافه شد. به منظور کشت مقدار Cell pack برابر جلبک در هر ارلن مجدداً از روش volume استفاده شد. برای هر دو گونه نوستوک از این روش استفاده شد و بعد از کشت دادن تمام ارلن‌ها به دستگاه فیتوترون منتقل شدند که در این دستگاه تمام شرایط از جمله رطوبت نسبی، دما و شدت نور یکسان بود. دمای فیتوترون 25 ± 1 سانتی گراد و شدت نور 3000 Lux بوده است. سیانوباکتری‌های کشت داده شده بعد از ۹ روز (آخر مرحله لگاریتمی) به منظور سنجش پارامترهای فیزیولوژیکی و بیوشیمیائی مختلف جمع آوری شد.

به منظور اندازه گیری وزن خشک، ابتدا سلول‌ها به کمک کاغذ صافی از محیط کشت جدا شده و سپس به منظور جدا کردن نمک از سلول‌ها، آن‌ها با محلول نرم‌مال NaCl (۰/۰۹٪) شستشو داده شدند. به منظور محاسبه وزن خشک کاغذ صافی‌ها به مدت ۴ ساعت در دمای ۶۰ درجه سانتی-گراد در آون قرار داده شدند. اطمینان از خشک شدن سیانوباکتری‌ها به وسیله توزین مکرر این سیانوباکتری‌ها

بوم سازگانهای آبی و خشکی می‌باشد و فراورده‌های مختلفی که ارزش دارویی و صنعتی دارند را تولید می‌کنند (۱۲۸). به علاوه، سیانوباکتری‌ها توانایی ثبت نیتروژن اتمسفر را نیز دارند و باعث حاصلخیزی مزارع برنج می‌شوند (۲۸) و با تغییرات فیزیولوژیکی، بیوشیمیائی و مولکولی باعث حفظ و بقای خود در برابر تنفس‌های زیستی و غیر زیستی می‌شوند (۲۹).

تنفس‌های غیرزیستی منجر به تولید انواع فعال اکسیژن (ROS) می‌شوند. این ترکیبات احیاکننده‌گی و سمیت بالایی دارند و باعث آسیب رساندن به پروتئین‌ها، لیپیدها، کربوهیدرات‌ها و DNA می‌شوند. انواع فعال اکسیژن همچنین بر بیان برخی از ژن‌ها تاثیر می‌گذارد. بنابراین فرایندهایی مثل رشد، چرخه سلولی، مرگ برنامه ریزی شده (PCD) و دفاع در برابر عوامل بیماری زا را کنترل می‌نماید (۳۰). زیماهی‌های پاداکساینده با جاروب کردن این ترکیبات اثرات سمی آنها را کاهش می‌دهند.

فیکوپیلی پروتئین‌ها (PBP) ترکیباتی محلول در آب می‌باشد. این ترکیبات سمی و سلطان زا نیستند و بعنوان رنگیزه‌های طبیعی اهمیت بسیاری دارند (۹). فیکوپیلین‌ها (PC) به دلیل داشتن خصوصیات زیست شناختی و فارماکولوژیکی مختلف از جمله جاروب کردن انواع فعال اکسیژن، خاصیت ضد سلطانی و خواص ضد التهابی بیشترین اهمیت را دارند. برخی از گزارش‌ها حاکی از نقش این ترکیبات به عنوان پاداکساینده‌های غیر زیماهی‌ای نیز هستند (۲۷).

در این پژوهش اثر غلاظت‌های مختلف شوری NaCl بر رشد و برخی پارامترهای فیزیولوژیکی و بیوشیمیائی مانند زیماهی‌های پاداکساینده و محتوای فیکوپیلی پروتئین‌ها در *Nostoc piscinale* و *Nostoc ellipsosporum* در مرحله لگاریتمی رشد برای اولین بار مورد مطالعه قرار گرفته و گزارش می‌شود.

گرم (Packer 1968) استفاده شد(۱۳). بدین منظور مقدار ۱ گرم جلبک تر از *N. ellipsosporum* توسط ۱/۵ میلی لیتر TCA (تریکلرواستیک اسید) ۰/۰۱ درصد و همچنین ۲ گرم زیتووده تر از *N. piscinale* توسط ۲ میلی لیتر TCA، ۰/۰۱ درصد استخراج شد. سپس عصاره بدست آمده به مدت ۱۰ دقیقه در ۱۳۰۰۰ rpm سانتریفوژ شد. در مرحله بعدی به ۰/۵ میلی لیتر از محلول حاصل از سانتریفوژ مقدار ۱ میلی لیتر محلول ۲۰ درصد TCA حاوی ۰/۵ درصد تیو باربیتوريک اسید اضافه شد. سپس مخلوط حاصل به مدت ۳۰ دقیقه در دمای ۹۵ درجه سانتیگراد حمام آب گرم قرار داده شد و سپس نمونه ها به سرعت سرد گردید. بعد از این مراحل مخلوط حاصل به مدت ۱۰ دقیقه در دمای محیط و دور ۱۳۰۰۰ rpm سانتریفوژ شد. در نهایت جذب محلول رویی حاصل از سانتریفوژ در طول موج های ۵۲۲ و ۶۰۰ نانومتر اندازه گیری شد و در نهایت مقدار مالون دی آلدهید (با ضریب خاموشی ۱۵۵ میلی مول بر سانتی متر) که محصول پراکسیداسیون لیپیدهای است، براساس نانومول در گرم وزن تر محاسبه گردید.

کاتالاز (CAT): به منظور بررسی فعالیت کاتالاز از روش Aebi (1984) استفاده شد(۵). بدین منظور ۶۲۵ میکرولیتر بافر پتاسیم فسفات ۵۰ میلی مولار را همراه با ۷۵ میکرولیتر پراکسید هیدروژن ۳ درصد و ۱۰ میکرولیتر بافر Tris-HCl را به یک کووت کوارتز اضافه شد و به وسیله آن جهت هضم تدریجی، دستگاه اسپکتروفوتومتر در مدد Kinetic در طول موج ۲۴۰ نانومتر صفر گردید و سپس برای اندازه گیری فعالیت کاتالاز، ۱۰ میکرولیتر عصاره زیماهی استخراج شده برای هر گونه نوستوک را به جای ۱۰ میکرولیتر بافر Tris-HCl به کووت اضافه شد و در مدت ۱۸۰ ثانیه فعالیت کاتالاز بر حسب $\Delta\text{Abs}/\text{min}$ ترسیم شد. در نهایت فعالیت آنزیمی بر حسب واحد زیماهی ای میلی گرم پروتئین^{-۱} protein (Unit mg^{-۱}) گزارش شد.

به مدت ۲ بار با فواصل یک ساعت (پس از ۴ ساعت) حاصل گردید(۱۷).

استخراج و سنجش پرولین آزاد: به منظور استخراج و سنجش مقدار پرولین آزاد موجود در نمونه ها، از روش Bates et al. (1973) استفاده گردید(۷). بدین منظور میزان ۱ گرم از زیتووده تر جلبک برداشته شد و توسط ۴ میلی لیتر محلول سولفوسالیسیلیک اسید ۳٪ در یک هاون چینی ریخته شد. دیواره سلولی هر دو گونه نوستوک مورد بررسی نسبت به سائیدن مقاوم بودند. از این رو، دیواره سلولی در *N. ellipsosporum* با امواج فرا صوت به مدت ۱۰ دقیقه (۵ ثانیه پالس، ۵ ثانیه استراحت) شکسته شد اما برای پاره کردن دیواره سلولی *N. piscinale* از دو روش انجام داده شد. ابتدا یک گرم بافت تر به همراه ۴ میلی لیتر بافر استخراج را به مدت ۳۰ دقیقه در دمای ۷۰-۷۰ قرار داده تا کاملا یخ بزند سپس با امواج فرما صوت به مدت ۲۰ دقیقه (۵ ثانیه پالس، ۵ ثانیه استراحت) دیواره سلولی شکسته شد. به منظور برداشت مواد اضافه، محلول حاصل به مدت ۲۰ دقیقه با سرعت ۱۳۰۰۰ دور بر دقیقه (rpm) سانتریفوژ شد. سپس ۱ میلی لیتر از روشنایور حاصل با ۲ میلی لیتر استیک اسید گلاسیال و ۲ میلی لیتر اسید نین هیدرین (شامل ۱/۲۵ میلی گرم نین هیدرین حل شده در ۲۰ میلی لیتر اسید فسفریک ۶ مولار و ۳۰ میلی لیتر استیک اسید گلاسیال) و ۱ میلی لیتر آب مقطر به مدت ۱ ساعت در دمای ۱۰۰ درجه سانتیگراد قرار داده شد و بلافضله به حمام یخ منتقل شد. در نهایت به محلول واکنش ۴ میلی لیتر تولوئن اضافه شد و جذب محلول (فاز رنگی) در ۵۲۰ نانومتر اندازه گیری شد. در نهایت میزان پرولین بر حسب میکروگرم پرولین به ازای گرم وزن تر محاسبه گردید.

سنجش میزان پراکسیداسیون لیپیدها: به منظور سنجش میزان پراکسیداسیون لیپیدهای غشاء بر اساس میزان مالون دی آلدهید (MDA) تولید شده، از روش Heath and

mM ۵۰ با pH=۷/۵ mM Na-، متیونین ۱۳ mM-، EDTA ۷۵ μM و نیتروبلو ترازوولیوم (NBT) ۰/۱ μM ریوفلاوین ۷۵ μM و مقدار ۱۰۰ میکرولیتر از عصاره می باشد . این روش بر اساس تبدیل NBT به فورمازان در حضور نور و تشکیل رنگ می باشد. در صورتی که زیمایه سوپراکسید دیسموتاز در محیط وجود داشته باشد، از انجام واکنش مذکور ممانعت کرده و تشکیل و ظهور رنگ را کاهش می دهد. پس از ۱۲ دقیقه جذب آنها توسط دستگاه اسپکتروفتومر و طول موج ۵۶۰ نانومتر خوانده شد(۱۱).

سنجر فیکوبیلی پروتئین ها: برای سنجش فیکوبیلی-پروتئین ها از روش Fay و Wyman (۱۹۸۶) استفاده شد (۳۲). یک میلی لیتر از سوسپانسیون نوستوک کاملا همگن شده، به مدت ۵ تا ۱۰ دقیقه سانتریفوژ شد و بخش رویی خارج شد. روی ته نشست باقیمانده ۶۰ تا ۱۵۰ میکرولیتر گلیسرول خالص اضافه شد و مخلوط به مدت ۲۴ ساعت در تاریکی و در دمای ۴ درجه سانتیگراد قرار گرفت. سپس به مخلوط مقداری آب مقطر اضافه شد تا غلظت گلیسرول ۱۰ درصد گردد. این عمل باعث شوک اسمزی شده، سلول ها ترکیده و فیکوبیلی پروتئین ها آزاد می شوند. به محلول حاصل استات سدیم به مقداری افزوده تا غلظت آن در محلول ۲۰۰ میلی مولار شود. مخلوط حاصل به مدت ۱۰ دقیقه سانتریفوژ شد و جذب بخش رویی را در طول موج های ۵۶۲، ۶۱۵ و ۷۵۰ نانومتر اندازه گیری شد. غلظت فیکوبیلی پروتئین ها با استفاده از فرمول های زیر بر حسب میکرو گرم بر میلی لیتر محاسبه شد.

$$AP = [1000 \times (A_{652} - A_{750}) - 208 \times (A_{615} - A_{750})] / 5.09$$

$$PC = [1000 \times (A_{615} - A_{750}) - 474 \times (A_{652} - A_{750})] / 5.34$$

$$PE = [1000 \times (A_{562} - A_{750}) - 2.41 \times (PC) - 0.949 \times (AP)] / 9.62$$

آنالیزهای آماری: تمام آزمایش های این پژوهش در قالب طرح کاملا تصادفی با ۴ تکرار انجام شد. داده های حاصل از بررسی ها بوسیله نرم افزار آماری SPSS (نسخه ۲۱) مورد تجزیه و تحلیل قرار گرفت. مقایسه میانگین داده ها در

پراکسیداز (POX): فعالیت این زیمایه به روش (1991) Abeles و Biles اندازه گیری شد (۳). ابتدا ۲ میلی لیتر بافر استات سدیم ۲۰۰ میلی مولار با pH=۵ را همراه با ۲۰۰ میکرولیتر پراکسید هیدروژن ۳ درصد و ۱۰۰ میکرولیتر بنزیدین ۲۰ میلی مولار در متانول ۵۰ درصد و ۵۰ میکرولیتر بافر Tris-HCl به یک کووت شیشه ای اضافه شد و به وسیله آن، دستگاه اسپکتروفتومر در مد Kinetic در طول موج ۵۳۰ نانومتر صفر شد و سپس برای اندازه گیری فعالیت پراکسیداز، ۵۰ میکرولیتر عصاره زیمایه استخراج شده برای هر گونه نوستوک به جای ۵۰ میکرولیتر بافر Tris-HCl به کووت اضافه شد و در مدت ۶۰ ثانیه فعالیت پراکسیداز بر حسب $\Delta Abs/min$ ترسیم شد. در نهایت فعالیت آنزیمی بر حسب واحد زیمایه ای در میلی گرم پروتئین ($Unit mg^{-1} protein$) محاسبه گردید.

پلی فنل اکسیداز (PPO): فعالیت این زیمایه به روش Raymond et al. (1993) اندازه گیری شد (۲۶). ابتدا ۲/۵ میلی لیتر بافر فسفات پتاسیم با pH=6.8 که دمای آن ۴۰ درجه سانتی گراد می باشد به همراه با ۲۰۰ میکرولیتر پیروگالول و ۲۰ میکرولیتر بافر Tris-HCl به یک کووت شیشه ای اضافه شد و به وسیله آن، دستگاه اسپکتروفتومر در مد Kinitic در طول موج ۴۳۰ نانومتر صفر شد و سپس برای اندازه گیری فعالیت پلی فنل اکسیداز، ۲۰ میکرولیتر عصاره زیمایه استخراج شده برای هر گونه نوستوک به جای ۲۰ میکرولیتر بافر Tris-HCl به کووت اضافه شد و در مدت ۶۰ ثانیه فعالیت پلی فنل اکسیداز بر حسب Abs/min ترسیم شد. در نهایت فعالیت آنزیمی بر حسب واحد زیمایه ای در میلی گرم پروتئین ($Unit mg^{-1} protein$) و گزارش شد.

سوپراکسید دیسموتاز (SOD): فعالیت این زیمایه با قابلیت آن در بازدارندگی واکنش احیایی فتوشیمیایی نیتروبلو ترازوولیوم (NBT) تعیین گردید. محلول واکنش بر اساس سنجش فعالیت زیمایه در محیط محتوى بافر

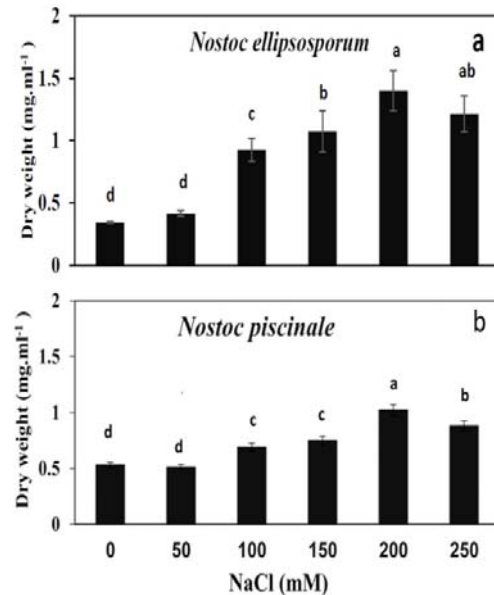
N. ellipsosporum نسبت به گونه دیگر بیشتر است (شکل ۱، a و b).

مطالعه تغییرات پرولین در دو گونه نوستوک حاکی از کاهش محتوای پرولین در *N. ellipsosporum* تا ۱۵۰ میلی مolar نمک و سپس افزایش معنی دار به سطحی بالاتر از شاهد در شوری ۲۰۰ و ۲۵۰ میلی Molar نمک است. افزایش پرولین در گونه *N. piscinale* در مقایسه با گونه اول کمتر است و تنها افزایش معنی دار در محتوای پرولین در غلظت ۲۵۰ میلی Molar نمک مشاهده می‌شود (شکل ۲ a و b). بررسی روند تغییرات مالون دی آلدئید (MDA) در دو گونه نوستوک نشان می‌دهد که با افزایش تنش شوری محتوای مالون دی آلدئید در هر دو گونه روند کاهشی دارد ولی این کاهش در *N. ellipsosporum* نسبت به گونه دوم بیشتر و چشمگیر تر است که می‌تواند نشان از موثر بودن سیستم پاداکسایندگی در گونه اول باشد (شکل ۲ c و d).

بررسی اثر تنش شوری بر فعالیت زیماهی کاتالاز در *N. ellipsosporum* نشان می‌دهد، که فعالیت این زیماهی در تمام تیمارهای مورد مطالعه نسبت به شاهد افزایش معنی‌داری را نشان می‌دهد و بیشترین فعالیت این زیماهی در غلظت ۵۰ میلی Molar وجود دارد. بر اساس نتایج حاصل از بررسی اثر تنش شوری بر فعالیت زیماهی کاتالاز در *N. piscinale*، در تمام تیمارهای مورد مطالعه فعالیت این زیماهی نسبت به شاهد افزایش می‌یابد و تفاوت معنی‌داری را با شاهد نشان می‌دهد و همچنین بیشترین فعالیت این زیماهی در غلظت های ۱۵۰ و ۲۰۰ میلی Molar می‌باشد (شکل ۳، a و b). لازم به ذکر است که میزان افزایش فعالیت CAT در در *N. ellipsosporum* نسبت به گونه دیگر بیشتر و چشمگیر تر است.

نتایج حاصل از بررسی اثر تنش شوری بر فعالیت زیماهی پراکسیداز در *N. ellipsosporum* کاهش معنی‌داری را نسبت به شاهد نشان می‌دهد. اما فعالیت زیماهی پراکسیداز

سطح خطای ۵٪ (P) با آزمون دانکن (DMRT) انجام شد.



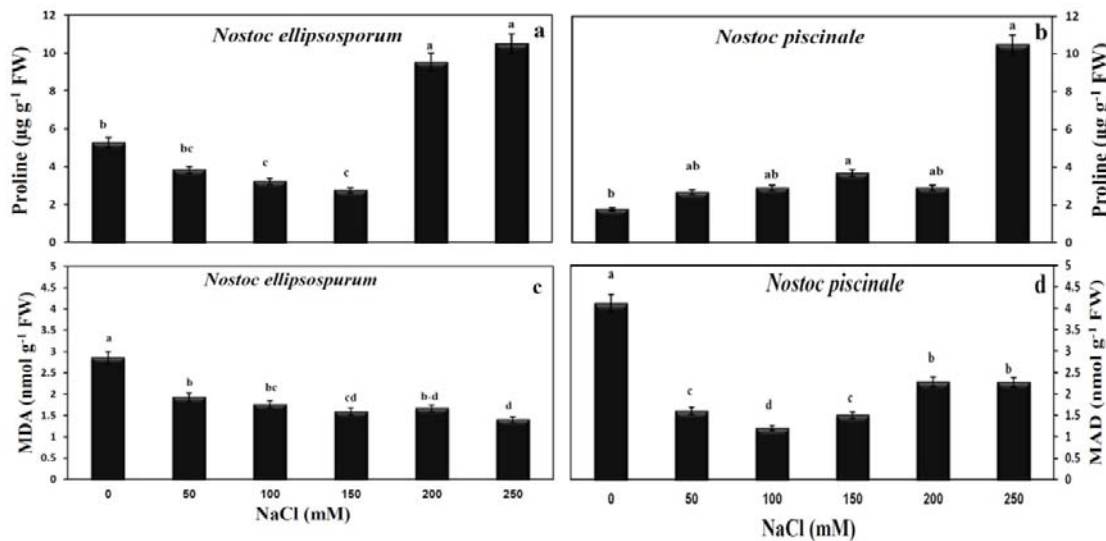
شکل ۱- اثر تنش NaCl بر وزن خشک دو گونه نوستوک در انتهای مرحله لگاریتمی رشد (مقادیر میانگین سه تکرار \pm انحراف معیار است. مقایسه میانگین ها با استفاده از آزمون دانکن انجام شد و حروف مشترک بیانگر عدم اختلاف معنی دار ($P \leq 0.05$) می‌باشد).

نتایج

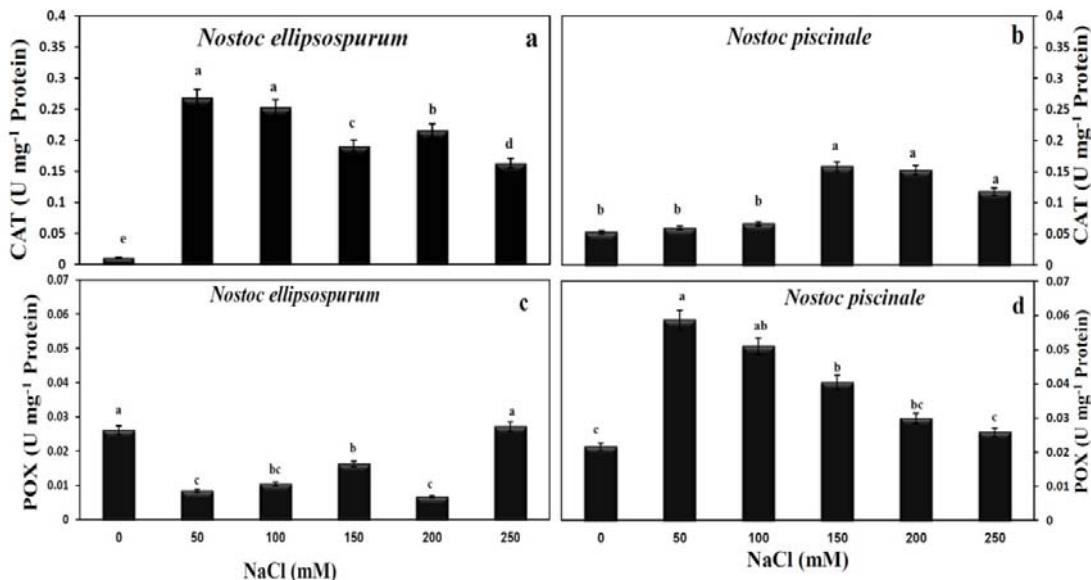
در افزایش تنش *N. ellipsosporum* با افزایش تنش شوری، وزن خشک که معیار اصلی رشد است افزایش می‌یابد و تفاوت معنی‌داری را در مقایسه با شاهد نشان می‌دهد. روند این تغییرات تا غلظت ۲۰۰ میلی Molar صعودی است و بعد از آن روند نزولی می‌باشد. رشد در *N. piscinale* نیز با افزایش غلظت نمک افزایش معنی دار می‌یابد و این روند تغییرات تا غلظت ۲۰۰ میلی Molar افزایشی است و بعد از آن روند تغییر رشد نزولی است و در واقع می‌توان بیان کرد که بیشترین میزان رشد در هر دو گونه در غلظت ۲۰۰ میلی Molar حاصل می‌شود. روند تغییرات رشدی در دو گونه سیانوبکتری مورد مطالعه مشابه می‌باشد و هر دو گونه در غلظت ۲۰۰ میلی Molar نمک بیشترین میزان رشد را نشان می‌دهند. با اینحال میزان افزایش رشد در

غلاظت ۵۰ میلی مولار قابل اندازه گیری است (شکل ۳، c و d).

در نسبت به شاهد *N. piscinale* بصورت معنی داری افزایش می‌یابد و همچنین بیشترین فعالیت این زیماه در



شکل ۲-اثر تنش NaCl بر محتوای پرولین و مالون دی‌آلید در دو گونه نوستوک در انتهای مرحله لگاریتمی رشد (مقادیر میانگین سه تکرار ± انحراف معیار است. مقایسه میانگین‌ها با استفاده از آزمون دانکن انجام شد و حروف مشترک بیانگر عدم اختلاف معنی دار ($P \leq 0.05$) می‌باشد).



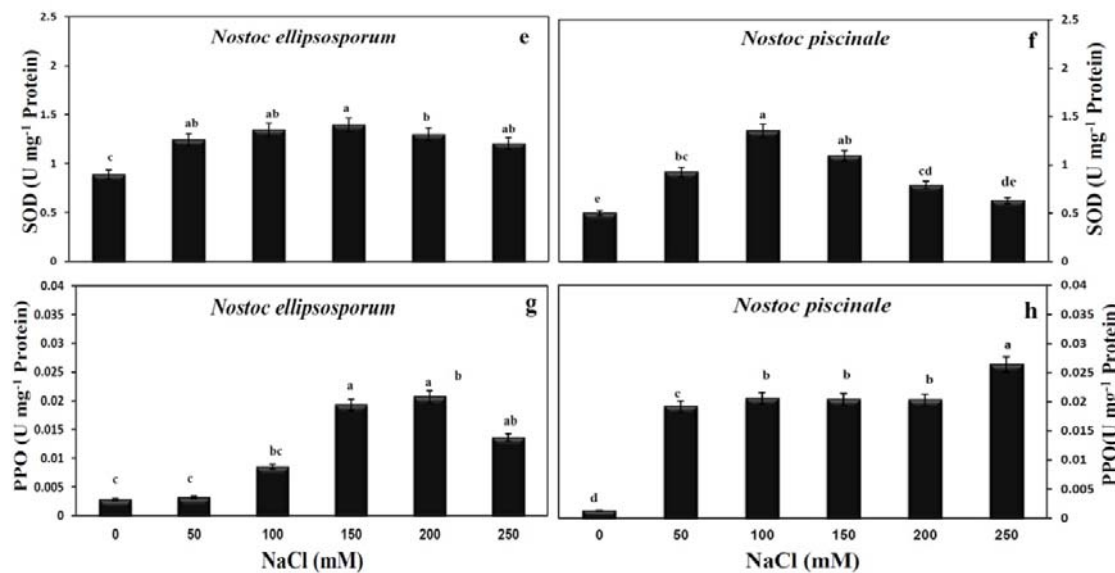
شکل ۳-اثر تنش NaCl بر فعالیت زیماه‌های کاتالاز (CAT) و پراکسیداز (POX) در دو گونه نوستوک در انتهای مرحله لگاریتمی رشد (مقادیر میانگین سه تکرار ± انحراف معیار است. مقایسه میانگین‌ها با استفاده از آزمون دانکن انجام شد و حروف مشترک بیانگر عدم اختلاف معنی دار ($P \leq 0.05$) می‌باشد).

مولار کاملاً افزایشی است و همچنین بیشترین میزان فعالیت این زیماه در این غلاظت وجود دارد. فعالیت این زیماه در *N. piscinale* نیز تقریباً در تمام تیمارهای مورد نشان می‌دهد و این روند تغییرات تا غلاظت ۱۵۰ میلی

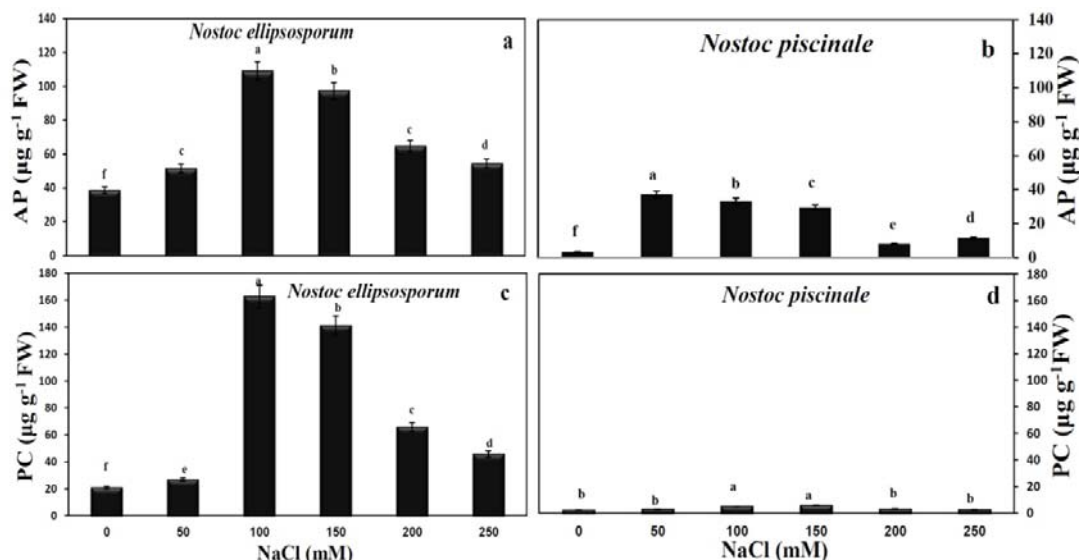
در تمام تیمارها فعالیت زیماه سوپراکسیدیسموتاز در *N. ellipsosporum* افزایش معنی داری را نسبت به شاهد نشان می‌دهد

مولار قابل تشخیص است (شکل ۴، a و b).

مطالعه نسبت به شاهد افزایش معنی داری را نشان می‌دهد و همچنین بیشترین فعالیت این زیماهی در تیمار ۱۰۰ میلی



شکل ۴-اثر تنش NaCl بر فعالیت زیماهی های سوپراکسید دیسموتاز (SOD) و پلی فنل اکسیداز (PPO) در دو گونه نوستوک در انتهای مرحله لگاریتمی رشد (مقادیر میانگین سه تکرار \pm انحراف معیار است. مقایسه میانگین ها با استفاده از آزمون دانکن انجام شد و حروف مشترک بیانگر عدم اختلاف معنی دار ($P \leq 0.05$) می باشد).



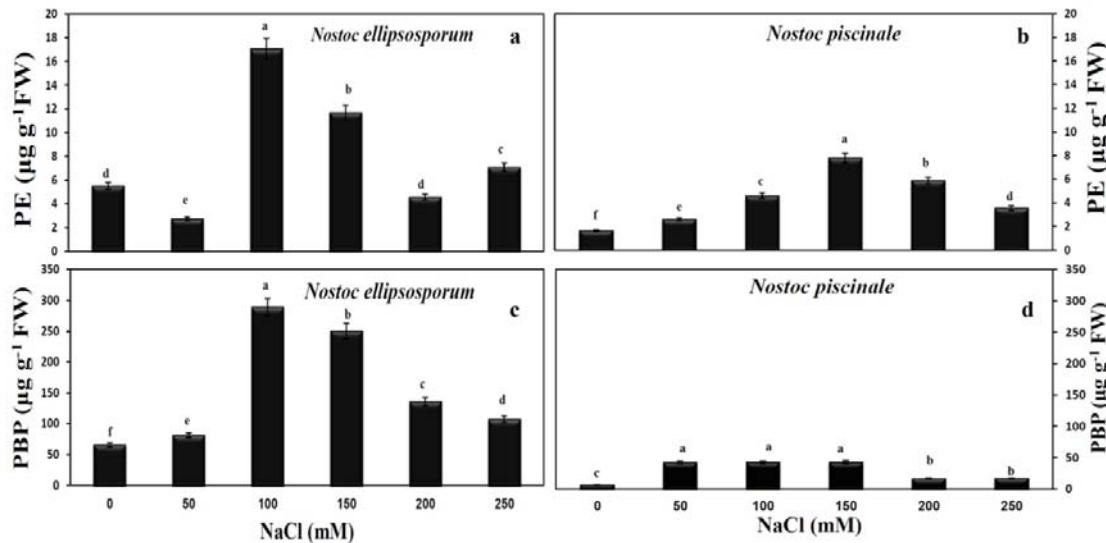
شکل ۵-اثر تنش NaCl بر محتوای آلوفیکوسینین (AP) و فیکوسینین (PC) در دو گونه نوستوک در انتهای مرحله لگاریتمی رشد (مقادیر میانگین سه تکرار \pm انحراف معیار است. مقایسه میانگین ها با استفاده از آزمون دانکن انجام شد و حروف مشترک بیانگر عدم اختلاف معنی دار ($P \leq 0.05$) می باشد).

مولار کاملاً صعودی است و بیشترین میزان فعالیت این زیماهی غاظت ۲۰۰ میلی مولار نشان می‌دهد. و همچنین در N. piscinale با افزایش تنش شوری فعالیت زیماهی پلی فنل

فعالیت زیماهی پلی فنل اکسیداز در N. ellipsosporum تحت تاثیر تنش شوری نسبت به شاهد افزایش معنی داری را نشان می‌دهد و این روند تغییرات تا غاظت ۲۰۰ میلی

افرایش فعالیت این آنزیم در *N. ellipsosporum* کاملاً وابسته به غلظت است.

اکسیداز افرایش معنی‌داری را نسبت به شاهد نشان می‌دهد و بیشترین فعالیت این زیماهی در غلظت ۲۵۰ میلی مولار وجود دارد (شکل ۶، c و d). باینحال لازم به ذکر است که



شکل ۶-اثر تنش NaCl بر محتوای فیکواریترین (PE) و فیکوبیلی پروتئین (PBP) در دو گونه نوستوک در انتهای مرحله لگاریتمی رشد (مقادیر میانگین سه تکرار \pm انحراف معیار است. مقایسه میانگین‌ها با استفاده از آزمون دانکن انجام شد و حروف مشترک بیانگر عدم اختلاف معنی‌دار ($P \leq 0.05$) می‌باشد).

تنش شوری بر این دو رنگیزه زیستی در *N. piscinale* بسیار کمتر از گونه دیگر است.

محتوای فیکواریترین در تیمارهای ۱۰۰، ۱۵۰ و ۲۵۰ میلی مولار در *N. ellipsosporum* نسبت به شاهد افزایش معنی‌داری را نشان می‌دهد اما در تیمارهای ۵۰ و ۲۰۰ میلی مولار نسبت به شاهد کاهش معنی‌داری را نشان می‌دهد. اما در حالی که محتوای فیکواریترین در *N. piscinale* تحت تاثیر تنش شوری افزایش می‌یابد. محتوای فیکوبیلی پروتئین در هر دو گونه سیانوباکتری نسبت به شاهد افزایش معنی‌داری را نشان می‌دهد (شکل ۶، a و b). مشابه نتایج حاصل از دو رنگیزه قبلی توجه به نتایج نشان می‌دهد که تاثیر تنش شوری بر این دو رنگیزه زیستی در *N. piscinale* بسیار کمتر از گونه دیگر است.

نتایج حاصل از بررسی اثر تنش شوری بر محتوای فیکوبیلی پروتئین در دو گونه سیانوباکتری مورد مطالعه در شکل (۶ c و d) نشان داده شده است. بر اساس نتایج

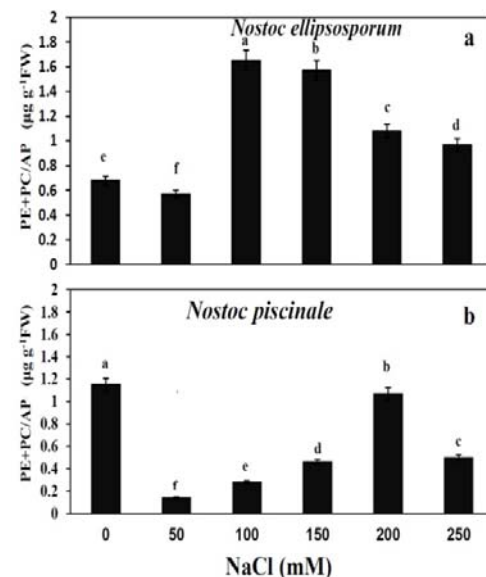
نتایج حاصل از بررسی اثر تنش شوری بر محتوای آلوفیکوسیانین در گونه *N. ellipsosporum* نشان می‌دهد، که محتوای آلوفیکوسیانین در تمام تیمارها نسبت به شاهد افزایش معنی‌داری را نشان می‌دهد و بیشترین میزان آن در غلظت ۱۰۰ میلی مولار می‌باشد. همچنین محتوای آلوفیکوسیانین نیز در *N. piscinale* نسبت به شاهد افزایش معنی‌داری را نشان می‌دهد و بیشترین میزان آن در تیمار ۵۰ میلی مولار وجود دارد (شکل ۶، c و d). محتوای فیکوسیانین تحت تاثیر تنش شوری در *N. ellipsosporum* نیز افزایش معنی‌داری را نشان می‌دهد و بیشترین میزان آن در غلظت ۱۰۰ میلی مولار وجود دارد. و همچنین مشابه با گونه قبلی محتوای فیکوسیانین در *N. piscinale* نسبت به شاهد بصورت معنی‌دار افزایش می‌یابد و همچنین بیشترین میزان آن در غلظت ۱۵۰ میلی مولار وجود دارد (شکل ۶، c و d). توجه به نتایج نشان می‌دهد که تاثیر

شرایط تنش در *N. ellipsosporum* نسبت به *N. piscinale* بیشتر افزایش می‌یابد. در ضمن نسبت APC به PE+PC در *N. ellipsosporum* با افزایش شوری به بیشتر از ۵۰ میلی مولار به صورت معنی داری نسبت به شاهد افزایش می‌یابد.

بحث و نتیجه گیری

تنش شوری یکی از تنش‌های غیرزیستی مهم است و اثرات جدی بر بقای موجود زنده و نیز تولید محصول و تولید ترکیبات زیستی دارد. جلبک‌ها از نظر تحمل شوری به دو گروه کلی قابل تقسیم می‌باشند، هالوفیل (= نمک دوست؛ برای بیشترین میزان رشد به نمک نیاز دارند) و هالوتولرن特 (= جلبک‌های متحمل به شوری که غلظت‌های بالای نمک را تحمل می‌کنند) که دارای سازوکارهایی جهت حفظ بقا در شرایط شور می‌باشند. جلبک‌ها در هر دو حالت، انواعی از متابولیت‌های ثانویه برای مقابله با تغییرات القا شده توسط شوری، برای رشد و همچنین تعادل اسمزی تولید می‌کنند (۱۵). در مطالعه حاضر اثر تنش شوری بر رشد دو گونه سیانوباکتری مورد مطالعه قرار گرفته، در هر دو گونه با افزایش غلظت نمک رشد افزایش یافت. نتایج نشان می‌دهد که این دو گونه سیانوباکتری توانایی تحمل نمک را دارند و برای این سازش از راهبردهای مختلف مانند سنتز اسمولیت‌های سازگار اسمزی مانند پرولین و سیستم‌های دفاعی پاداکساینده، شامل پاداکسایندهای زیمایه‌ای و غیر زیمایه‌ای استفاده می‌کنند. مطالعات بسیاری اثر تنش شوری بر رشد ریزجلبک‌ها و سیانوباکتری‌های مختلف را مورد بررسی قرار داده است. در سال ۲۰۰۵، Abdal-Rahman نشان داد (۴) که تنش شوری باعث افزایش رشد در *Chlorococcum humicola* و *Chorella vulgaris* می‌شود. در سال ۲۰۰۷، Rao و همکاران نشان دادند که افزایش غلظت نمک سبب افزایش رشد در جلبک سبز *Botryococcus braunii* می‌شود (۲۵).

حاصل از این مطالعه محتوای فیکوبیلی پروتئین در تمام سطوح شوری و حتی در غیاب نمک در *N. piscinale* نسبت به *N. ellipsosporum* بالاتر است. در ضمن محتوای این رنگیزه‌ها در هر دو گونه تحت تنش شوری بصورت معنی دار افزایش می‌یابد ولی این افزایش در *N. ellipsosporum* نسبت به گونه دیگر بیشتر و چشمگیر تر است. در مجموع محتوای هر ۴ ترکیب اخیر مورد مطالعه در شرایط شاهد و تحت تنش شوری در *N. piscinale* نسبت به *N. ellipsosporum* بیشتر است (شکل ۵ و ۶).



شکل ۷-ا) تنش NaCl بر نسبت مجموع محتوای فیکواریتین و فیکوسیانین (PE+PC) به آلفوکوسیانین (AP) در دو گونه نوستوک در انتهای مرحله لگاریتمی رشد (مقادیر میانگین سه تکرار \pm انحراف معیار است. مقایسه میانگین‌ها با استفاده از آزمون دانکن انجام شد و حروف مشترک بیانگر عدم اختلاف معنی دار ($P \leq 0.05$) می‌باشد). در پایان بررسی نسبت APC به PE+PC در دو گونه به عنوان معیاری از اندازه فیکوبیلی زوم مورد بررسی و نیز مورد محاسبه قرار گرفت. نتایج این محاسبات در شکل ۷ (a) و (b) ارائه شده است. این نسبت یا اندازه فیکوبیلی زوم *N. piscinale* در شرایط شاهد و در غیاب تنش شوری در *N. ellipsosporum* بالاتر است. باینحال تنش شوری باعث تغییر این نسبت می‌شود و این نسبت در

تر بوده است. لذا می‌توان نتیجه گیری کرد که این آنزیم می‌تواند یکی از دلایل مقاومت بهتر این گونه در برابر تنفس شوری و در نتیجه پائین تر بودن محتوای مالون دی‌آلدئید باشد (شکل ۲، ۵ و ۶). در سال ۲۰۰۶، Lu و همکاران نشان دادند که زیماهی کاتالاز به منظور سرم زدایی H_2O_2 در *Ulva fasciata* افزایش می‌یابد (۱۹). بر عکس Luo و Liu در سال ۲۰۱۱ نشان دادند که تنفس شوری باعث کاهش فعالیت زیماهی کاتالاز در *Ulva prolifera* می‌شود (۲۰).

زیماهی پراکسیداز مشابه با کاتالاز در جاروب کردن H_2O_2 نقش دارد. سوپراکسیدیسموتاز اولین خط دفاعی در مقابل ROS یا انواع فعال اکسیژن است. آنیون سوپراکسید به وسیله احیا اکسیژن در فتوسیستم I توسط واکنش مهمل تولید می‌شود و بعداً در استروما به اکسیژن و H_2O_2 تبدیل می‌شود. واکنش H_2O_2 با یون‌های فلزی احیا شده، باعث تولید رادیکال هیدروکسیل می‌شود، که یک اکسیدکننده قوی است و می‌تواند با مولکول‌های زیستی واکنش دهد و به آنها آسیب رساند (۲۱). زیماهی سوپراکسیدیسموتاز در مطالعه حاضر در دو گونه مورد مطالعه افزایش معنی دار و قابل ملاحظه‌ای نشان داد. مطالعات زیادی میزان فعالیت سوپراکسیدیسموتاز را در گیاهان و ریز جلبک‌ها مورد بررسی قرار داده است. از جمله در سال ۲۰۰۶ و Lu و همکاران نشان دادند که فعالیت SOD تا ۵ درصد نمک در *Ulva fasciata* افزایش می‌یابد (۱۹). با توجه به نتایج حاصل نقش آنزیم SOD در کنترل انواع فعال اکسیژن و تحمل بهتر ترش در *N. ellipsosporum* به ویژه در شدت های بالای تنفس مشخص است (شکل ۴، a و b).

فیکوبیلی‌پروتئین‌ها در سیانوباکتری‌ها در سطح استرومائی غشاهای تیلاکوئیدی قرار دارند و به عنوان آنتهای اولیه برای جذب نور برای PSII عمل می‌کنند. موقعیت و عملکرد PBPs در سیانوباکتری‌ها در پاسخ به شرایط تنفسی تغییر می‌کند (۳۱). در مطالعه حاضر محتوای انواع مختلف

سنجدش محتوای پرولین نشان می‌دهد که بالاتر بودن محتوای ذاتی پرولین در *N. ellipsosporum* نسبت به *N. piscinale* می‌تواند یکی از عوامل تحمل بالاتر گونه اول نسبت به شوری باشد. سنجدش مالون دی‌آلدئید (MDA) در گونه‌های مورد مطالعه نیز حاکی از پائین بودن محتوای MDA در *N. ellipsosporum* در *N. piscinale* است (شکل ۲). در سیانوباکتری‌ها تحت تاثیر تنفس‌های مختلف، پرولین و ترکیبات دیگری با وزن مولکولی کم مثل آسکوربیات، گلوتاتیون که جزو پاداکساینده‌های غیرزیماهی ای هستند وارد عمل شده و در کنترل رادیکال-های آزاد اکسیژن و وضعیت اکسایش و احیای سلول‌ها نقش مهمی را ایفا می‌کنند. زیماهی‌های پاداکساینده مثل SOD، CAT و APX نیز در این رابطه نقش مشابه و موثری را بازی می‌کنند (۳۰).

انواع فعال اکسیژن (ROS) در طی متابولیسم اکسیژن در اندامک‌هایی مانند کلروپلاست، میتوکندری و پراکسیزوم تولید می‌شوند. در شرایط طبیعی تولید ROS به کمک زیماهی‌های پاداکساینده و سایر پاداکساینده‌ها در اندامک‌های مختلف کنترل می‌شود. در شرایط تنفس تولید ROS افزایش می‌یابد و باعث تغییر ساختار در اسیدهای نوکلئیک، اکسیدشدن پروتئین‌ها و پراکسیداسیون لیپیدها می‌شود. بر بیان ژن زیماهی‌های جاروب کننده مانند SOD و CAT نیز اثر می‌گذارد. تعدادی از مطالعات نشان می‌دهد که توانایی گیاهان برای تحمل شوری به توانایی آنها در جاروب کردن ROS تحت تاثیر شرایط تنفس بستگی دارد. افزایش سیستم پاداکساینده، کلید جلوگیری از آسیب تنفس شوری می‌باشد (۱۴). کاتالاز یکی از پاداکساینده‌های مهم است و در جاروب کردن H_2O_2 نقش اساسی را دارد. در مطالعه حاضر، فعالیت این زیماهی در *N. piscinale* و *N. ellipsosporum* افزایش می‌یابد. لکن در مجموع میزان افزایش فعالیت CAT در *N. ellipsosporum* نسبت به گونه دیگر بیشتر و چشمگیر

مطابقت دارد. در پژوهش‌های دیگر انجام شده در ریز جلبک‌ها به نقش سایر رنگیزه‌ها مانند بتاکاروتون در این اندامگان‌ها به عنوان آنتی اکسیدان‌های غیر آنزیمی جهت مقابله با تنش سرما (۱) و نیز تنش شوری (۲) اشاره و پرداخته شده است.

در مجموع می‌توان گفت که *N. ellipsosporum* از طریق افزایش محتوای پرولین و فعالیت آنزیم‌های آنتی اکسیدان مانند کاتالاز و سوپراکسید دیسموتاز و نیز افزایش محتوای فیکوبیلی زوم‌ها به عنوان آنتی اکسیدان‌های غیر آنزیمی با اثرات مخرب تنش شوری و تنش اکسایشی حاصل به نحو بهتری به مقابله بر می‌خizد. به علاوه با توجه به نقش فیکوبیلی زوم‌ها به عنوان رنگیزه‌های آنتنی و دخالت در تراپری انرژی نورانی به سمت فتوسیستم ۲، افزایش محتوای این رنگیزه‌ها و افزایش اندازه فیکوبیلی زوم می‌تواند سازوکار دیگری برای رشد بهتر سیانوباکتری تحت تنش شوری باشد. با توجه به کاربرد فیکوبیلی پروتئین‌ها در صنایع مختلف به ویژه صنایع داروئی بر اساس نتایج این تحقیق می‌توان از سیانوباکتری‌ها جهت تولید زیستی این زیست رنگیزه‌ها و از تنش شوری جهت افزایش تولید این ترکیبات ارزشمند بهره گرفت.

فیکوبیلی‌پروتئین و فیکوبیلی‌پروتئین کل در دو گونه مورد مطالعه افزایش یافته است. بر عکس نتایج ما، Lu و Wang (۲۰۰۰) نشان دادند که تنش شوری باعث کاهش محتوای فیکوسیانین در *Spirulina platensis* می‌شود (۱۸). Rafiqul و همکاران نیز در سال ۲۰۰۳، اثر کاهشی تنش *Spirulina fusiformis* بر محتوای فیکوسیانین در *Spirulina fusiformis* را نشان دادند (۲۴).

همانوریکه قبلی تیز ذکر شد نسبت AP به PE+PC در دو گونه به عنوان معیاری از اندازه فیکوبیلی زوم مورد محاسبه قرار گرفت. اندازه فیکوبیلی زوم را می‌توان به عنوان شاخصی از پایداری فیکوبیلی زوم در نظر گرفت (۶). اندازه فیکوبیلی زوم یا نسبت AP به PE+PC با افزایش شوری به بیشتر از ۵۰ میلی مولار به صورت معنی داری نسبت به شاهد افزایش می‌یابد. این تغییر می‌تواند به عنوان سازوکاری در گیاه جهت افزایش کارائی انتقال انرژی نورانی از رنگیزه‌های آنتنی حاشیه‌ای به فتوسیستم ۲ در نظر گرفته شود. *N. ellipsosporum* جهت مقابله به اثرات منفی تنش شوری می‌تواند از طریق افزایش اندازه فیکوبیلی زوم با تنش شوری مقابله کند. این نتایج با نتایج های Asadi و همکاران (۶) در سیانوباکتری تحت تنش امواج ماکروویو

منابع

- معین، شریعتی م. ۱۳۸۹. اثر همزمان سالیسیلیک اسید و تنش شوری بر رشد (تقسیم سلولی)، رنگیزه‌های فتوستزی و مقدار بتاکاروتون در جلبک تک سلولی . مجله زیست‌شناسی ایران. ۲۲(۵): ۶۲۷-۶۳۸.
- 3- Abeles FB, Biles CL (1991) Characterization of peroxidases in lignifying peach fruit endocarp. *J Plant Physiol* 95: 269–273.
- 4- Abdel-Rahman MHM, Ali RM, Said HA (2005) Alleviation of NaCl-induced effects on *Chlorella vulgaris* and *Chlorococcum humicola* by riboflavin application. *International Journal of Agriculture and Biology* 7:58–62.
- 5- Aebi H (1984) Catalase in vitro. *J Methods Enzymol* 105: 121–126.
- 1- پائیزی م، عینعلی، ع شریعتی، م. ۱۳۹۳. بررسی رابطه بین تجمع بتاکاروتون و مقاومت به تنش سرما با استفاده از کیتیک فلورورسانس کلروفیل a در جلبک سبز تک سلولی Dunaliella ۳۶۳-۳۷۵. مجله پژوهش‌های گیاهی. ۲۷(۳): ۲۷-۳۶.
- 6- Asadi A, Soltani N, Asadi AA (2013) Effect of various microwave frequencies on the physiology of a cyanobacterium, *Schizothrix Mexicana*. *Acta Physiol Plant* 35:1367–1372
- 7- Bates LS, Waldren RP, Teare ID (1973) Rapid determination of free proline for water-stress studies. *Plant Soil* 39:205–207.
- 8- Cardozo KHM, Guaratini T, Barros MP, Falcao VR, Tonon AP, Lopes NP, Campos S, Torres MA, Souza AO, Colepicolo P, Pinto E (2007)

- Metabolites from algae with economical impact. *J Comp Biochem Physiol* 146: 60–78.
- 9- Chaneva G, Furnadzhieva S, Minkova K, Lukavsky J (2007) Effect of light and temperature on the cyanobacterium *Arthronema africanum*- a prospective phycobiliprotein producing strain. *J Appl Phycol* 19: 537–544.
 - 10- Elbaz A, Wei YY, Meng Q, Zheng Q, Yang ZM (2010) Mercury-induced oxidative stress and impact on antioxidant enzymes in *Chlamydomonas reinhardtii*. *Ecotoxicology* 19:1285–1293.
 - 11- Giannopolitis CN, Ries SK (1977) Superoxide dismutases II. Purification and quantitative relationship with water-soluble protein in seedlings. *Plant Physiology* 59:315–318.
 - 12- Hader DP, Kumar HD, Smith RC, Worrest RC (2007) Effects of solar UV radiation on aquatic ecosystems and interactions with climate change. *J Photochem photobiol Sci* 6: 267–285.
 - 13- Heath RL, Packer L (1968) Photoperoxidatin in isolated chloroplasts. I. Kinetics and stoichiometry of fatty acid peroxidation. *Arch Biochem Biophys* 125:189–198.
 - 14- Jahnke LS, White AL (2003) Long-term hyposaline and hypersaline stresses produce distinct antioxidant responses in the marine alga *Dunaliella tertiolecta*. *Plant Physiology* 160: 1193–1202.
 - 15- Jayanta T, Chandra KM, Chandra GB (2012) Growth, total lipid content and fatty acid profile of a native strain of the freshwater oleaginous microalgae *Ankistrodesmus falcatus* (Ralf) grown under salt stress condition. *International Research Journal of Biological Sciences* 1:27–35.
 - 16- Kalbasi A, Faramarzi MA, Hejazi MS, Jahandar H, Amini M, Jalali SM (2009) 14α-Hydroxylation of androst-4-en-3, 17-dione by the whole cells of cyanobacterium *Nostoc piscinale*. *J Biotech* 8: 370–374.
 - 17- Leganes F, Sanchez E, Fernandez-Vaiente E (1987) Effect of indoleacetic acid on growth and dinitrogen fixation in cyanobacteria. *J Plant Cell Physiol* 28:529–533.
 - 18- Lu C, Zhang J (2000) Role of light in the response of PSII photochemistry to salt stress in the cyanobacterium *Spirulina platensis*. *Experimental Botany* 51:911–917.
 - 19- Lu IF, Sung MS, Lee TM (2006) Salinity stress and hydrogen peroxide regulation of antioxidant defense system in *Ulva fasciata*. *Marine Biology* 150:1–15.
 - 20- Luo MB, Liu F (2011) Salinity-induced oxidative stress and regulation of antioxidant defense system in the marine macroalga *Ulva prolifera*. *Experimental Marine Biology and Ecology* 409:223–228.
 - 21- Moisander PH, McClinton III E, Paerl HW (2002) Salinity Effects on Growth, Photosynthetic Parameters, and Nitrogenase Activity in Estuarine Planktonic Cyanobacteria. *Microbiol Ecol* 43: 432–442.
 - 22- Moradpour Z, Torshabi M, Faramarzi MA, TabatabaeiYazdi M, Ghasemi Y, Jahandar H, Zolfaghary N, Zarrini G (2010) Microalgal transformation of androst-4-en-3,17-dione by *Nostoc ellipsosporum*. *Res J Microbiol* 5: 576–580.
 - 23- Okamoto OK, Pinto E, Latorre LR, Bechara EJH, Colepicolo P (2001) Antioxidant Modulation in Response to Metal-Induced Oxidative Stress in Algal Chloroplasts. *Environmental Contamination and Toxicology* 40:18–24.
 - 24- Rafiqul IM, Hassan A, Sulebele G, Orosco CA, Roustaian P, Jalal KCA (2003) Salt stress culture of blue-green algae *Spirulina fusiformis*. *Biological Science* 6: 648–650
 - 25- Rao AR, Dayananda C, Sarada R, Shamala TR, Ravishankar GA (2007) Effect of salinity on growth of green alga *Botryococcus braunii* and its constituents. *Bioresource Technology* 98: 560–564.
 - 26- Raymond J, Rakariyatham N, Azanza JL (1993) Purification and some properties of polyphenoloxidase from sunflower seeds. *J Phytochem* 34: 927–931.
 - 27- Sharma G, Kumar M, Ali MI, Jasuja ND (2014) Effect of Carbon Content, Salinity and pH on *Spirulina platensis* for Phycocyanin, Allophycocyanin and Phycoerythrin Accumulation. *J Microb Biochem Technol* 6:202–206.
 - 28- Singh SP, Hader D-P, Sinha RP (2009) Cyanobacteria and ultraviolet radiation (UVR) stress: Mitigation strategies. *Ageing Research Reviews* 9:79–90.
 - 29- Singh SP, Montgomery BL (2011) Determining cell shape: adaptive regulation of cyanobacterial cellular differentiation and morphology. *J Trends in Microbiology* 19:278–285.
 - 30- Singh Gill S, Tuteja N (2010) Reactive oxygen species and antioxidant machinery in abiotic

- stress tolerance in crop plants. *Plant Physiology and Biochemistry* 48:909–930.
- 31- Sundaram S, Soumya KK (2011) Study of physiological and biochemical alterations in cyanobacteria under organic stress. *J Plant physiol* 6:1–16.
- 32- Wyman M, Fay P (1986) Underwater light climate the growth and pigmentation of planktonic blue-green (cyanobacteria). I. The influence of light quantity. *J Proc R Soc Lond* 227:367–380.
- 33- Zhu JK (2001) Plant salt tolerance. *Trends in Plant Science* 6:66–71.

Effect of salt stress on growth, lipid peroxidation, antioxidant enzymes and phycobiliproteins in two species of *Nostoc*

Rezayian M.¹, Faramarzi M.A.², Niknam V.¹ and Ebrahimzadeh H.¹

¹ Plant Biology Dept. and Center of Excellence in Phylogeny of Living Organisms in Iran, School of Biology, College of Science, University of Tehran, Tehran, I.R. of Iran

² Pharmaceutical Biotechnology Dept., Faculty of Pharmacy and Biotechnology Research Center, Tehran University of Medical Sciences; Tehran, I.R. of Iran

Abstract

The changes in growth, and content of proline, MDA and phycobiliproteins and the involvement of the antioxidant enzymes in relation to salt stress tolerance were investigated in *Nostoc ellipsosporum* and *N. piscinale*. Both microalgae were grown in BG-11 medium in the presence of various concentrations of NaCl (0, 50 100, 150, 200, and 250 mM). Both species showed an increase in dry weight under stress. *N. ellipsosporum* was more tolerant to NaCl stress than that of *N. piscinale* and *N. ellipsosporum* obtained more biomass under salinity stress in comparison to *N. piscinale*. Salt stress induced catalase (CAT), peroxides (POX), polyphenol oxidase (PPO) and superoxide dismutase (SOD) activities in *N. ellipsosporum* and *N. piscinale* after 9. Salinity treatment significantly induced increase in phycobiliprotein in *N. piscinale* and in *N. ellipsosporum*. This increase was prominent in *N. ellipsosporum* than that of *N. piscinale*. Moreover, the variability of phycobilisome size was also examined. The size of phycobilisomes can be usually represented by the ratio [PE + PC/AP]. The size of phycobilisomes (by elongation of the phycobilisome rods) increased significantly under salt stress.

Key words: salinity, cyanobacterium, antioxidant enzymes, phycobiliproteins, *Nostoc*